

(株) 神戸製鋼所 正 新家 健  
 " " 広中邦沢  
 " " 中村竜市

1. まえがき 吊橋の長大化に伴ない、メインケーブルには ロープより強度の高い平行線ケーブルが用いられる傾向にある。平行線ケーブルは 素線を平行に束ねたもので、素線相互の滑動に対する拘束が無い場合には純張力部材とみてよしこがえりいが、ケーブルバンドやラッピングワイヤ等でケーブルを綴付け素線相互の自由な滑動を拘束すると、拘束を曲げ剛性を有しこくる。従って、ケーブル径が太く且つ、系の変形が大きくなる場合は、メインケーブルに大きな曲げ応力(以下2次応力と称す)の発生する可能性が考えられる。例えば、架設途中の吊橋メインケーブルには、補剛析の架設方法により非常に大きな集中力の作用する場合もあるが、このときの2次応力は ガラリ大きくなるものと思ゆれ。また、列車荷重のように、系の大変形を伴なう荷重が繰返し作用する場合には、ケーブルを構成する素線の応力変動へ与える2次応力の影響は大である。

本報は このような吊橋平行線ケーブルの静的挙動を把握し、ケーブルに発生する2次応力を明らかにする為の解析手段を得んとしたものであり、その第1報として、ケーブルバンドのみで綴付けされた吊橋平行線ケーブルの2次応力解析理論の概要を述べる。

2. 理論の概要 本理論全般の流れをノロで云うと、メインケーブルをせん断と曲げに対して剛なバンド部材(ケーブルバンド綴付部分)と特異な部材剛性を有するケーブル部材(バンド部材とバンド部材に囲まれた素線の集合体)とが交互に連結されたものとして取り扱い、吊橋系全体の有限変形解析を行なうことによりメインケーブルの2次応力を求めようとしたものと云ふことができる。基礎方程式の未知数としては、

メインケーブルに因し ケーブル部材の伸び量と部材回転角 $\theta_{bi}$ 及びバンド部材回転角 $\theta_{bi}$ 、  
 ハンガーと補剛析に因し ハンガーロープの伸び $\delta l_{hi}$ と補剛析格点の曲げモーメント $M_{hi}$ 、  
 を採用したが、連立方程式を解く段階ではスケーリングを行ない未知数を総て無次元数に統一した。また、主眼を2次応力に置いてるので、解析には ハンガーロープの傾斜角変化及び補剛析の水平変位を無視した。

### 2-1. ケーブル部材の接線剛性行列 図-1 参照

素線の集合体であるケーブル部材の2次応力は 素線張力によって構成され曲げモーメントに、素線端部の曲げモーメントの総和を加え合わせたものと考え

られる。この考え方によつて接線剛性行列を導びく。  
**本誘導仮定\***

- I. ケーブルの断面形は不変。
  - II. 素線の両端は バンド部材端に固定されている。
  - III. 素線相互の接触作用は無視できる。
  - IV. 素線自重の影響は無視できる。
  - V. 素線の横接みによる支点間距離の変化は無い。
- 本誘導** 引張と曲げを受ける素線の部材端力 $P_{bi}$ と部材端変形 $\theta_{bi}$ の関係式及びその局所線型関係式は

$$P_{bi} = k_{bi} \theta_{bi} \quad \dots (1), \quad S P_{bi} = k_{bi} \delta l_{bi} + S \theta_{bi} \cdot l_{bi} \quad \dots (2)$$

但し、 $P_{bi} = [P_{bi} \ P_{ei} \ \theta_{bi} \ \theta_{ei}]^T$ ,  $\delta l_{bi}$ : 端位置記号,  $(\cdot)$ : (1)の初期値  
 $\theta_{bi} = [\theta_{bi} - \theta_{bi}^0, \ \theta_{biH} - \theta_{biH}^0, \ \theta_{biL} - \theta_{biL}^0, \ l_{bi} - l_{bi}^0]^T$   
 $P$ :せん断力,  $m$ :モーメント,  $t$ :張力,  $a$ :始端,  $e$ :終端

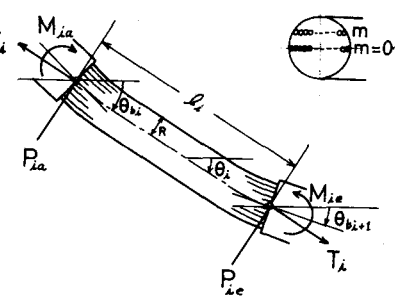


図-1, ケーブル部材の作用力系

で表わされる。 以下は次の通り

$$\left. \begin{aligned} k_{11} &= -\frac{1}{2}(EI)^{\frac{1}{2}}(l-t)^{\frac{1}{2}}, \quad k_{12}=k_{11}, \quad k_{13}=-2k_{11}, \quad k_{14}=0 \\ k_{21} &= -k_{11}, \quad k_{22}=k_{11}, \quad k_{23}=2k_{11}, \quad k_{24}=-2k_{11} \\ k_{31} &= \frac{1}{2}(EI)^{\frac{1}{2}}l - 2t^{\frac{1}{2}} \{ l - (Et^{\frac{1}{2}})^{\frac{1}{2}} \}, \quad k_{32} = \frac{1}{2}(EI)^{\frac{1}{2}}l - 2t^{\frac{1}{2}} \cdot (Et^{\frac{1}{2}})^{\frac{1}{2}} \\ k_{33} &= k_{31} - k_{32}, \quad k_{34}=0 \\ k_{41} &= -k_{32}, \quad k_{42}=-k_{31}, \quad k_{43}=-k_{33}, \quad k_{44}=0 \\ k_{51} &= k_{52}=k_{53}=0, \quad k_{54}=f_d \cdot EI l^{-\frac{1}{2}} \end{aligned} \right]$$

但し、  $R_m = (k_{ij})$ ,  $EI$ : 素線の曲げ剛性,  $f_d$ : 素線断面積  
l: 素線の支点間距離, t: 素線張力

$R_m$  は t の関数であるが  $S$ ,  $\delta R_m$  は  $\delta R_m = \hat{R}_m \cdot \delta t_m$  の形に近似できる。 $\varepsilon = \frac{1}{2}$   $\hat{R}_m = \partial R_m / \partial t_m$ 。 所で  
 $\delta t_m = R_m \cdot \delta \theta_m$ ,  $R_m = Et^{\frac{1}{2}} \cdot l^{\frac{1}{2}} [y_m - y_a \quad 0 \quad 1]$  --- (3)

但し、  $y_m$  は素線  $m$  の中立軸からの距離。

であるから、素線の局所線型剛性係数として次式を得る。  
 $\delta P_m = (R_m + \hat{R}_m R'_m) \cdot \delta \theta_m = R_m \cdot \delta \theta_m$  --- (4)

$R_m$  と  $\hat{R}_m$  はこれまで水、水の層中の素線に関する剛性行列と接線剛性行列である。 ここで、ケーブル部材端力  $P_i$  は素線端力  $R_m$  の合力であるから、仮定 I., IV., V. を用いると次の関係がある。

$$P_i = \sum_m S_m \cdot R_m + \sum_m S_m \cdot y_m \cdot a \cdot t_m \quad \text{--- (5)}$$

$$\text{又}, \delta P_i = \sum_m S_m \cdot \delta R_m + \sum_m S_m \cdot y_m \cdot a \cdot \delta t_m \quad \text{--- (6)}$$

但し、  $S_m$ : 水の層中に含まれる素線本数

$$a = [0 \ 0 \ 1 \ 1 \ 0]^T, \quad P = [P_a \ P_c \ M_a \ M_c \ T]^T$$

(5), (6)式の右辺を左項は素線軸力の構成する 2 次応力成分である。(6)式に(4)式を代入すると、ケーブル部材  $i$  の局所線型剛性方程式を得る。

$$\delta P_i = K_i \cdot \delta \theta_i \quad \text{--- (7)}, \quad K_i = \sum_m S_m \hat{R}_m + \sum_m S_m \cdot y_m \cdot a \cdot R'_m \quad \text{--- (8)}$$

K<sub>i</sub> 日 本解析の変式化における、ケーブル部材の接線剛性行列である。(7)式において、 $\delta \theta_i$  を部材端変位  $\Delta_i$  に変換するには変位法によった剛性行列が得られる。

筆者らは変換時に生じる誤差を防ぎ、未知数の減少を計ったが、そこで  $\delta \theta_i$  を未知数ベクトルに採用した。

## 2-2. バンド部材の釣合

バンド部材は曲げとせん断に対し剛とする。

図-2 中の左、右及び取扱い水を水、ハーネス張力、ケーブルバンドに作用する鉛直荷重及びケーブルとケーブルバンドの換算自重である。 バンド部材の釣合式を変形前後の両系について立てると、増分量の関係式が得られる。 但し、(7)式は(6)式を用いて整理された形である。 $\delta X_i = [\delta \theta_i, \delta \theta_i, \delta t_i, \delta t_i, \delta M_{i,e}]^T$

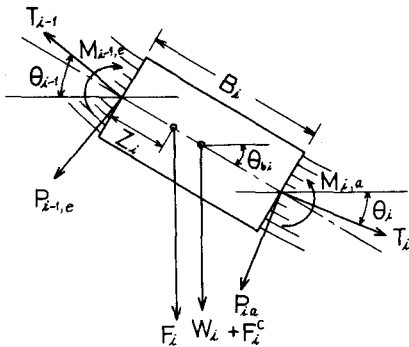


図-2. バンド部材の作用力系

$$A_i^0 \delta X_{i+1} + B_i^0 \delta X_i + C_i^0 \delta X_{i-1} = D_i^0 \quad \text{--- (9)}$$

## 2-3. 補剛析拘束条件

2-2. と同様に変形前後の系に対して、補剛析拘束の釣合式と接続ハーネス張力に導かれるメイクアンドルーム～ハーネス～補剛析拘束～ハーネス～の成す多角形の閉合条件式を立てると、増分量の関係式を得る。

$$A_i^1 \delta X_{i+1} + B_i^1 \delta X_i + C_i^1 \delta X_{i-1} = D_i^1 \quad \text{--- (10)}$$

## 2-4. 径向適合条件式

本解法では部材間の適合条件は自動的に満足するが、ケーブルの終端とその支点に関しては、それが一致するという条件を与えてやる必要がある。 2-2. と同様にして、次の局所線型剛性方程式(11)を得る。

$$E_i^1 \delta X_i = D_i^1 \quad \text{--- (11)}$$

但し、  $t_m$  と  $t_{m+1}$  はモード水を水ケーブルの左、右支点格点番号を表す。

## 2-5. 連立方程式の解法

(9), (10)より次を得る。

$$A_i^0 \delta X_{i+1} + B_i^0 \delta X_i + C_i^0 \delta X_{i-1} = D_i^0 \quad \text{--- (12)}$$

但し、  $A_i = A_i^0 + A_i^1$ ,  $B_i = B_i^0 + B_i^1$ ,  $C_i = C_i^0 + C_i^1$ ,  $D_i = D_i^0 + D_i^1$

(11)式と(12)式の連立方程式は後進消去の後、前进代入を行なうことにより能率よく解を求めるを得る。

## 2-6. 修正法

Newton-Raphson 法と、3 角関数の展開に用い、  
 $\sin(\theta + \delta \theta) = \sin \theta + \mu \delta \theta$ ,  $\cos(\theta + \delta \theta) = \cos \theta - \nu \delta \theta$   
 $\mu = \delta \theta^T \{ \sin(\theta + \delta \theta) - \sin \theta \}$ ,  $\nu = -\delta \theta^T \{ \cos(\theta + \delta \theta) - \cos \theta \}$ を用いて俌數行列を作成する割線法とも言葉べき方法を併用した。

3. あとがき 素線集合体としてのケーブルの接線剛性行列を導びき、吊橋平行線ケーブルの 2 次応力解析を行った。 計算例は発表当日スライドにて説明の予定です。